

LISP関数の並列実行モデルとその評価

伊藤貴康 和田慎一
(東北大学工学部通信工学科)

1. まえがき

データフローマシンなどの並列的アーキテクチャの上でLISP処理系を実現しようとす
る研究が行われつつある。しかし、LISP処理系またはLISP関数に内在している並列性を
解析し、LISP向きの並列実行モデルを理論的に解明しようとする研究は殆んど行われて
いないのが現状である。

LISPおよびその処理系に内在している並列性を整理し、LISP向きの並列実行モデルを考え、その上での処理速度について解析しておくことは理論的観点から重要なだけでなく、LISP向き並列アーキテクチャ、関数型言語向き並列アーキテクチャを考える上で重要である。このような観点から、筆者等は文献[1]および[2]で“Pure LISP”を対象としていくつかの並列実行モデルを提案した。eval
app

LISP処理系の実現法としてインタプリタ方式とコンパイラ方式がある。逐次処理のスタックマシンモデル上でインタプリタ実行とコンパイラ実行の処理速度の理論的な比較を文献[1]でを行い、Pure LISP関数のコンパイラ実行はインタプリタ実行よりも15倍以上高速であることを示した。

本稿では、まず並列実行モデルとその上でのインターフリタ実行・コンパイラ実行について述べ、各モデルでの並列性導入による高速化について概念的に比較する。次いで、インターフリタ実行とコンパイラ実行の実行ステップ数の比較を行ない、並列実行モデル上で処理速度について比較検討する。

2. Pure LISP Y並列実行アリ

この章では Pure LISP の処理における並列性と並列性導入による効果について説明し、並列性導入のレベルの違いによって 3 種類のモデルを文献 [1] や [2] を基に与える。

2.1 evalquote の高速化の方針

Pure LISP インタプリタ evalquote は図 1 のように Pure LISP によって記述されるが、eval-quote 向きの並列実行モデルについて考えてみる。文献 [1] でも論じたように evalquote のインタプリタとしての処理内容は次のように分類できる。

- ① 基本関数の処理
 - ② 式や関数のタイプの分類
 - ③ 関数の評価
 - ④ 関数の適用
 - ⑤ 引数の評価
 - ⑥ 条件式の処理
 - ⑦ 変数の束縛
 - ⑧ 変数値の探索

したがって evalquote の高速化は

[方針 1]: ①~⑧の処理内容を並列実行す

図1 Pure LISPインタプリタ evalquote の定義

デル上で実行することによる高速化を考えることができる。また、evalquoteは並列実行モデルの(機械)命令プログラムにコンパイルされてから実行されると考えると

[方針2]：evalquoteのコンパイルおよびそのオブジェクトの実行段階での並列性導入による高速化も採用すべきである。

2.2 関数的処理の並列化

まず、Pure LISPの関数的な性質から、次のような並列性の導入が考えられる。これは[方針2]に基づく並列性の導入と考えてよい。

[IF]：関数適用の式 $f[e_1; \dots; e_n]$ において引数 $e_1 \dots e_n$ を並列評価してから関数 f を適用する。

[C]：条件式 $[P_1 \rightarrow e_1; \dots; P_n \rightarrow e_n]$ において

[C-1]：各条件 $P_1 \dots P_n$ を並列的に評価し、

$P_1 = \dots = P_{i-1} = \text{false}$ かつ $P_i = \text{true}$ なることを調べ、対応する結果 e_i を評価する。ただし i の値が確定した時点で $P_{i+1} \dots P_n$ に対する評価は打ち切りされるものとする。

[C-2]：各条件 $P_1 \dots P_n$ 並びに各結果 $e_1 \dots e_n$ を並列的に評価し、 $P_1 = \dots = P_{i-1} = \text{false}$ かつ $P_i = \text{true}$ なることを調べ、 e_i の値を結果として返す。ただし i の値が確定した時点で $P_{i+1} \dots P_n, e_1 \dots e_{i-1}, e_{i+1} \dots e_n$ に対する評価は打ち切りされるものとする。

[IF]による高速化

[IF]による並列化の効果が現われるのは複数個の大きな処理時間を要する式が1つの関数の引数として与えられる場合である。図2のように任意の木構造の引数に対するコピーを作成する関数copyは引数が深され完全二進木の場合、処理時間は逐次処理ならば $O(2^m)$ であるのに対し、[IF]の採用により $O(n)$ となる。この例からも知られるように再帰的関数の場合には[IF]のような関数的並列性の導入は特に大きな効果を持つ。

[C]による高速化

[C-1]による並列化の効果が現われるのは条件式の評価である。以下では真理値 $\text{true}, \text{false}$ により真偽の判定を行なう代わりに $\text{non-NIL}, \text{NIL}$ により行なう。

式の条件の数が多いとき、または複数個の大きな処理時間を要する式が条件として並んでいる場合である。また、[C-2]の並列化では条件式 $[P_1 \rightarrow e_1; \dots; P_n \rightarrow e_n]$ において、各条件 $P_1 \dots P_n$ の評価とは並列に各結果 $e_1 \dots e_n$ の部分も並列的に評価されていくので

(条件式の処理時間)
 $= \max \left[\max_{1 \leq k \leq i} [(\text{条件 } P_k \text{ の処理時間})] ; \right. \\ \left. (\text{結果 } e_i \text{ の処理時間}) \right]$

となり、全体の処理時間において \max の2つの項のうち、小さなほうが省かれることになる。そのため、2つの項の値がどちらも大きいときには効果が大きい。

今まで述べた関数的並列性はデータフローマシンなどで採用されている並列処理を理想化したものと考えてよい。

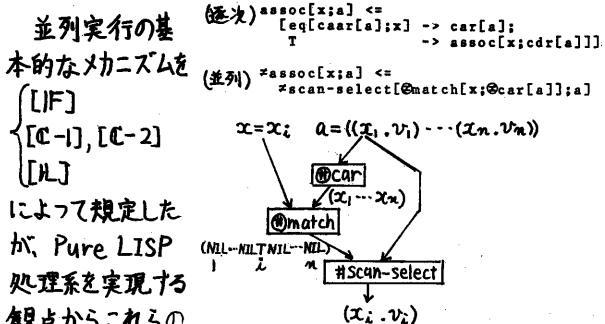
2.3 リスト構造処理の並列化

evalquoteのPure LISPインタプリタとしての処理内容(2.1の①～⑧)を考えると、項目③, ⑤, ⑥, ⑦および⑧は種々のリスト構造に対する処理となっていることがわかる。これらの処理の高速化のために次の並列性の導入を考える。

[IL]：リスト構造 $(l_1 \dots l_n)$ の各要素 $l_1 \dots l_n$ に 対する独立した処理を並列実行する。この並列性を「リスト構造の各要素を一齊に取り出して並列処理を行なう」、「並列的に処理した結果によるリストの再構成を並列的に行なう」などの高度の並列性を持つマシンの機能としてモデル化する。これは[方針1]に基づくモデルである。

マシンモデルに並列的にリスト処理を行なう基本関数を導入し、これらの関数を用いて evalquoteに現われりリスト操作の関数を実現することができ、このようにして高速化を計るのである。たとえば変数値の探索に用いられる $\text{ASSOC}[x;a]$ は図3のように定義を書き換えることにより a -listとして用いられる第2引数 a の各要素の car 部と x が等しいかを並列的に調べ、その結果により a の要素を選び出すという形に並列化できる。この結果、リスト a の長さに関係なく一定の時間で $\text{ASSOC}[x;a]$ の処理ができるようになる。[IL]に基づく並列化については3.4で詳しく説明する。

2.4 並列実行モデルの設定



によって規定した

が、Pure LISP
処理系を実現する
観点からこれらの

有効な組み合わせ 図3 ASSOCの並列処理

せとして次のようないきモデルを設定する。

(1) Δ -model

- { Δ_1 -model : [IF], [C-1]に基づく実行モデル
- { Δ_2 -model : [IF], [C-2]に基づく実行モデル
- (2) # - model : [IF], [C-1], [L]に基づく実行モデル
- Δ -modelは関数的処理の並列化のみを採用したモデルでデータフローマシンの抽象的モデルとも考えられる。
- # - modelはさらにリスト構造処理の並列化を採用したモデルである。

3. 並列実行モデルでのコンパイラ実行方式・インタプリタ実行方式と並列実行による高速化

この章では前節で設定した各並列実行モデルでのコンパイラ実行について3.1でその実行方式を説明し、3.2で処理速度を概念的に比較する。次にインタプリタ実行の実行方式と処理速度についての概念的な検討結果について、3.3で Δ -modelの場合、3.4で# - modelの場合を説明する。また、3.2～3.4においてはインタプリタ実行、コンパイラ実行の速度の違いについても検討し、3.5で各モデルでの速度比の相違について検討する。

3.1 コンパイラ実行方式

コンパイラ実行方式ではPure LISP関数が並列実行モデルの命令語プログラムに変換されてから実行される。並列実行モデルでの命令の意味記述をグラフ(表現)を用いて与えうことにし、図4にPure LISPの式や関数のグラフへの変換規則を示した。変換規則は(1)関数定義、(2)関数、(3)式に対する規則から成る。定義関数の適用に対しては"CALL f"というノードが生成されるが、そのノードが実行される時に関数を定義するグラフにおきかえられ、そのグラフが実行されるものとする。また LAMBDA関数に対するグラフではlinkによりLAMBDA変数の引き渡しが表わされる。linkの入力はLAMBDA関数の引数であり、出力は本体(body)内の変数参照に用いられる。

(1) 関数定義の変換		関数fの定義内容をグラフへ変換して関数fの定義内容を登録する
(DEF args body)	\leftarrow (LAMBDA args body)	
(2) 関数の変換		
基本関数 ex. CAR, CONS		CAR, CONSを適用する
定義関数 f		実行時には関数fの定義内容のグラフがコピーされそれが実行される。
LAMBDA関数 (LAMBDA (x ₁ ...x _n) body)		linkはn個の入力が局部変数x ₁ ...x _n として扱われるなどを示す。body内部での局部変数の参照によりlinkからの出力がこれら。
LABEL関数 (LABEL f (LAMBDA args body))		別に (DE f args body)によりfを定義された関数として変換しそれを呼ぶ
(3) 式の変換		
定数 (QUOTE exp)	"exp"	定数 expを出力
局部変数 x _i	$x_i \dots x_n$ (link)	linkからx _i に相当する出力をとり出す
条件式 (COND (P ₁ e ₁) ... (P _n e _n)) [Δ_1 -model] の場合		COND1が P ₁ *...P _n *からの入力を調べて P ₁ *==...==P _n *=NIL, P _i *!=NIL なら iを求める e _i へ実行制御を送る。e _i のみが実行され、その値が"のノードを経て出力される。(P ₁ ...P _n の並列評価) COND1の内側では実行制御(=>)の入力が与えられるこにより実行を開始する。
条件式 [Δ_2 , # - model] の場合		COND2が Δ_2 -modelの場合と同様に iを求める e _i の値を出力する。(P ₁ ...P _n , e ₁ ...e _n の並列評価)
関数適用の式 (f e ₁ ...e _n)		並列的に e ₁ ...e _n の値が評価され fに適用される。

[注] 式 e_iに対し e_i*は e_iのグラフであるとする

図4 Pure LISP からグラフ表現への変換規則

グラフでは基本関数(後述の#scan-selectを除く)と"CALL f"のノードは全ての入力がそろってから実行を開始し、他のノードはそれぞれに対して必要な入力が与えられれば実行を開始するものとする。ただし、図4の規則では自由変数、関数引数の処理は扱えない。

3.2 コンパイラ実行方式の処理速度の概念的評価

まず、コンパイラ(のオブジェクト)の実行をインタプリタ実行と比較すると、逐次処理の場合、文献[1]で説明したように次の点で高速になる：

- (1) 式や関数のタイプの分類は不要である。
- (2) 変数値は探索せずに取り出せう。
- (3) 関数の評価は不要である。
- (4) 引数の評価、変数の束縛などを引数リスト、変数リストなどのリスト処理でなく、より直接的に行なうことができる。

逐次処理のインタプリタを基準として各モデルでの処理速度を概念的に比較した表が図5である。コンパイラオブジェクト実行モードで考えると Δ_1 -modelと Δ_2 -modelには実質上差異はないと考えよい。(なお $\#$ -modelでは、モデルに固有の基本関数を考えられるが、それらを除外して考えたとき)

3.3 Δ -modelのインタプリタ実行方式と処理速度の概念的比較

Δ_1 , Δ_2 -modelのインタプリタ実行方式は図1のevalquoteをその構造を変えないまま、1における方法と同じ方法によりコンパイルして生成されたオブジェクトを実行する方式であると考える。

インタプリタ実行ではevalquoteの記述に含まれる並列性が

Δ_1 -model: [IF], [C-1]

Δ_2 -model: [IF], [C-2]

によって並列化される。以下各並列化の項目ごとにその導入による効果を検討する。

[IF]による高速化

[IF]の導入により、インタプリタとして関数適用の式($f e_1 \dots e_n$)の評価を行なう際、並列化的効果が現われる。図6はevalquoteの関数適用の式($f e_1 \dots e_n$)に対する評価の様子を表わしているが、evalisが再帰的に呼び出されると一番下の木のような状態になる。そこでは n 個のconsにおいて[IF]によりそれぞれの引数の並列評価が行われるため、eval[e₁; a]…eval[e_n; a]が並列的に行われる。すなわち、インタプリタでもコンパイラ実行の場合と対応した。[IF]の並列化が実現できることになる。ただし、eval[e_n; a]の呼び出しは n 回のevalisの再帰的呼び出しの後に行われ、また、答えるリストを構成するための n 個のconsも下から順に行われなければならぬなど、リスト構造を逐次的に処理するための時間(リスト構造処理のオーバーヘッドと呼ぶ)が全体の実行時間に含まれることになる。この意味で前に述べた「インタプリタ上での[IF]の実現」

モデル 処理内容	逐次処理モデル I C	Δ_1 -model I C	Δ_2 -model I C	$\#$ -model I C
基本関数の処理	— —	— —	— —	— —
式や関数のタイプの分類	— 不要	並列化不要	並列化2 不要	並列化2 不要
引数の評価 (引数リストの処理)	— L	[IF] [IF], L	[IF] [IF], L	[IF], L [IF], L
条件式の処理 (条件式本体の外側)	— L	— [C-1], L	[C-2] [C-2], L	[C-2], L [C-2], L
変数の束縛 (変数リストの処理)	— L	— L	一定時間 L	一定時間 L 一定時間 L
変数値の探索 関数の評価 (a -listの処理)	— 一定時間 L	— 一定時間 L	— 一定時間 L	— 一定時間 L 一定時間 L

—逐次処理のインタプリタと比較して概念的差はない
I: インタプリタ実行
並列化1: 各分類の処理の並列化
並列化2: 分類並びに分類に応じた処理の並列化
[IF], [C-1], [C-2]: 各並列化
L: リスト構造処理のオーバーヘッドの消滅
一定時間: 一定の時間で処理可能

図5 処理速度の概念的比較

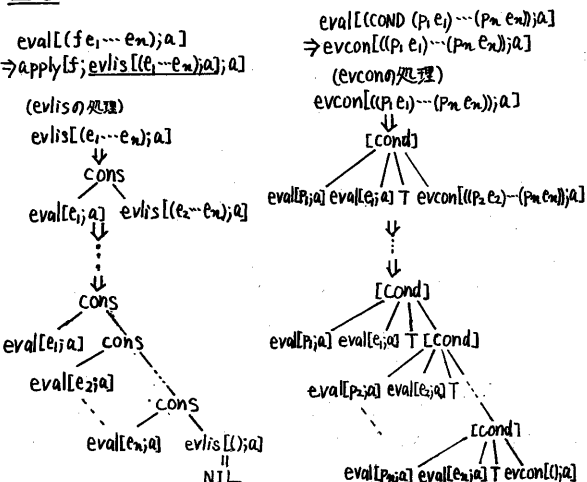


図6 インタプリタの関数適用の式に対する処理 図7 インタプリタの条件式に対する処理

は不完全なものである。

[IF]の導入により、インタプリタ、コンパイラの両方とも引数の並列的評価が行なわれるようになるが、インタプリタの関数定義を詳細に分析すると[IF]の導入はコンパイラよりもインタプリタの高速化により有効であると考えられる。

[C-1]による高速化

[C-1]の並列性の導入によりeval, applyの中の条件式の各条件が並列評価され、式や関数のタイプの分類が高速化される。しかし、[C-1]の導入によりコンパイラ実行で生じる効果と同様な効果がインタプリタの上で生じることはない。すなわち、インタプリタが条件式を評価するとき、

各条件 $P_1 \dots P_m$ に対する評価 $\text{eval}[P_1; a] \dots \text{eval}[P_m; a]$ は並列的に実行されることはなく、逐次的に実行される。このように、[C-1] の導入はインタプリタ、コンパイラに対し、それぞれ異なった形の高速化をもたらすが、多くの場合、条件式の条件の数は少ないため、[C-1] の導入もコンパイラよりインタプリタの高速化に有効であると考えられる。

[C-2]による高速化

まず、[C-2] の並列性は [C-1] を包括するので [C-1] による高速化が行われる。さらに以下のようないくつかの方法で高速化される。

- (a) 式や関数のタイプの分類と同時に各場合に応じた処理が並列的に行われる。
- (b) インタプリタ上においてもコンパイラ実行の場合と同様の [C-2] 導入の効果が現われる。

(b) の効果の現われ方は [IF] による高速化と類似した形のものである。図 7 に evalquote が条件式を評価する様子が示されているが、一番下の木で、各 [cond] に対し、その子孫にあたる各部分が並列的に実行されるため、全体として $\text{eval}[P_1; a] \dots \text{eval}[P_m; a]$ 並びに $\text{eval}[e_1; a] \dots \text{eval}[e_n; a]$ が並列的に実行されることになる。ただし、条件式のリストの構造に応じて evalcon を再帰的に呼び出すなどリスト構造を逐次的に処理するための時間（リスト構造処理のオーバーヘッド）が全体の実行時間に含まれる。[C-2] の導入により、インタプリタでは (b) の効果に加えて (a) の効果が現われる。したがって [C-2] の導入もコンパイラよりインタプリタの高速化により有効であると考えられる。

3.4 #model のインタプリタ実行方式と処理速度

#model は Δ_2 -model にリスト構造処理の並列性 [IL] を加えたものである。#model のインタプリタ実行はリスト構造処理の並列性 [IL] を具体的に与えることによって表現することができる。文献 [1] で与えた

#-evalquote はその一例である（図 8 参照）。#evalquote も Δ_2 -model と同じ方法により ([IF], [C-2] の並列性の採用) コンパイルして実行されるものとする。#evalquote ではリスト構造の並列処理のため次のような関数が用いられている。

(1) ④一関数：関数名の頭に ④ がついており、引数として与えられるリストの各要素に対してその関数が並列的に適用され、その結果をリストにして返す関数である。図 8 の ④car, ④cdr などは ④一関数の例である。④一関数の処理は（各要素に対する処理時間）+（オーバーヘッド）の時間でできるとし、理想的にはオーバーヘッドは 0 である。

(2) #scan-select $[(x_1 \dots x_n); (y_1 \dots y_m)]$: 第 1 引数のリスト $(x_1 \dots x_n)$ の各要素 $x_1 \dots x_n$ を並列的に調べ、 $x_1 = \dots = x_{i-1} = \text{NIL}$, $x_i \neq \text{NIL}$ なる i を求め、対応する第 2 引数のリストの要素 y_i を返す。ただし、#scan-select はそれに対する引数が評価されている段階から実行が開始され、第 1 引数の各要素ごとに値の確定を調べ、 $x_1 \dots x_n$ の値が確定していくが求まつ

```

#evalquote[fn;x] <- #apply[fn;x;NIL]
#apply[fn;x;a] <-
  [atom[fn] -> [#eq[fn;CAR] -> caar[x];
                  #eq[fn;CDR] -> cdr[x];
                  #eq[fn;CONS] -> #cons[car[x];cadr[x]];
                  #eq[fn;ATOM] -> atom[car[x]];
                  #eq[fn;EQ] -> #eq[car[x];cadr[x]];
                  T -> #apply[#eval[fn;a];x;a]];
   #eq[car[fn];LAMBDA] -> #eval[caddr[fn];#pairlis[cadr[fn];x;a]];
   #eq[car[fn];LABEL] -> #apply[caddr[fn];x;#cons[#cons[cadr[fn];caddr[fn]];a]]];
#eval[e;a] <-
  [atom[e] -> cdr[#assoc[e;a]];
   atom[car[e]] -> [#eq[car[e];QUOTE] -> cadr[e];
                      #eq[car[e];COND] -> #evcon[cdr[e];a];
                      T -> #apply[car[e];#evalis[cdr[e];a];a]];
   T -> #apply[car[e];#evalis[cdr[e];a];a]];
#assoc[x;a] <- #scan-select[@match[x;@car[a]];a]
#evcon[c;a] <- #scan-select[@eval[@car[c];a];
                           @eval[@car[@cdr[c]];a]];
#evalis[m;a] <- @eval[m;a]
#pairlis[x;y;a] <- #conc2[#cons[x;y];a]

@car[({e1 ... en})] = (car[e1] ... car[en])
@cdr[({e1 ... en})] = (cdr[e1] ... cdr[en])
#cons[({x1 ... xn});({y1 ... yn})]
= (#cons[x1;y1] ... #cons[xn;yn])
@eval[({e1 ... en});a]
= (#eval[e1;a] ... #eval[en;a])

@match[x;({a1 ... an})] = (#eq[x;a1] ... #eq[x;an])
#scan-select[({x1 ... xn});({y1 ... yn})] = yi
  (xi = NIL, ..., xi-1 = NIL and xi ≠ NIL のとき)
#conc2[({x1 ... xn});({y1 ... yn})] = (x1 ... xn y1 ... yn)

```

図 8 #evalquote の定義

た段階で α を第2引数から取り出し、答えとして返す。 $\#SCAN-SELECT$ の処理のためには
 $(x_1 \dots x_n)$ に基づき α を決定するための時間)
 $+ (\text{オーバーヘッド})$

の時間が必要である。理想的にはオーバーヘッドは0であり、また α を決定する処理は $O(\log n)$ で行なうことことができ、簡単なものであろうから、ほぼ一定の時間で処理できると考えられる。

(3) $\#CONC2[(x_1 \dots x_n); (y_1 \dots y_m)]$:
 $\text{append}[(x_1 \dots x_n); (y_1 \dots y_m)]$ と同じ意味であるが、第1引数のリストに対する並列処理を行なうことによりリスト長に関係なく一定時間で処理する。

なお、関数名の頭に $\#$ の付いた関数は引数が2以上であり、 $\#$ -model上で並列処理される関数であることを示している。前述の関数を用いることにより $\#EVALQUOTE$ では図9の関数においてリスト構造に対する処理が並列化されている。このためリスト構造処理のオーバーヘッドがなくなる。

関数	並列的に扱われるリスト	対応する処理内容
$\#ASSOC[x; a]$	a : a-list	変数値の探索・関数の評価
$\#EVCON[c; a]$	c : 条件式本体のリスト $((P_1 E_1) \dots (P_n E_n))$	条件式の処理
$\#PAIR-LIS[X; Y; a]$	X : 変数(引数)リスト Y : 実引数リスト	変数束縛
$\#EVLIS[m; a]$	m : (評価前の)引数のリスト	引数評価

図9 リスト構造処理の並列化の適用される関数

ヘッドがなくなる。また、変数値の探索等のための $\#ASSOC$ は $\#SCAN-SELECT$, $\#MATCH$ の導入により a-list を完全に並列的に扱うため、a-list の長さによらず一定時間で処理できる。特に a-list の深い位置にある自由変数の探索に対して大きな効果が現われる。

図5の各モデルのインタプリタについての内容は上述の議論に基いたものである。

3.5 インタプリタ実行とコンパイラ実行の速度比のモデル間での相違

3.2～3.4の検討結果を用いてインタプリタ実行とコンパイラ実行の速度比のモデルによる違いについて整理する。

まず、3.3で検討したように [IF], [C-1], [C-2] の導入はいずれもインタプリタの高速化により有効であることから速度比は逐次型モデル, Δ_2 -model,

Δ_2 -model の順に小さくなっていくと考えられる。さらに [IL] の並列性を導入した $\#$ -model では多くの場合インタプリタのみに [IL] の並列化が適用されるため、当然速度比はより小さくなる。

Δ_1, Δ_2 -model では逐次型モデルと比較した場合、インタプリタにおいて式や関数のタイプの分類が並列化され高速処理される。さらに、 $\#$ -model ではリスト構造処理のオーバーヘッドが消滅し、変数値の探索、関数の評価が一定時間で行われるため、3.2で検討したインタプリタとコンパイラの概念上の差がほんくなっている。実行ステップ数による比較については4.2を参照されたい。

4. インタプリタ実行とコンパイラ実行の実行ステップ数による速度比較

3章において各モデルでのインタプリタ実行とコンパイラ実行の速度の相違について概念的に比較したが、この章では実行ステップ数による比較、検討を行なう。文献[1]でスタッフマシンに対して用いた方法と同様な方法により比較を行う。逐次処理のモデルも含めて各モデルのインタプリタ実行とコンパイラ実行の速度比最悪値を示した。

4.1 Pure LISP関数の実行ステップ数の計算

ステップ数は理想的な仮定の下で計算する。すなわち、並列実行の制御、種々のデータ転送が理想的に行なわれ、それらによるオーバーヘッドはなく、基本関数処理のような Pure LISP と直接対応した処理のみが実行時間に反映されると仮定する。また、局部変数や関数呼び出しのための処理も実行時間に影響を与えないとして仮定する。

関数	値	関数	値
car	1	$\#SCAN-SELECT$	1
cdr	1	$\#CONC2$	1
cons	1	$\#MATCH$	1
atom	1	他の④一関数	④のないときの関数の実行ステップ数
eq	1		
cond*	1		

*:cond*とは条件式 $[P_1 \rightarrow E_1; \dots; P_n \rightarrow E_n]$ において $P_1 = \dots = P_{i-1} = NIL, P_i \neq NIL$ なるとき求めたための時間をさす。

図10 各命令(関数)の実行ステップ数

ここで新たに並列実行モデルとの比較のために逐次処理モデル「seq-model」を設定する。seq-model は各命令の実行ステップ数は並列実行モデルと同じであるが、[IF],

[C-1], [C-2], [IL] のいずれの並列化も採用されないと仮定したモデルである。

次に Pure LISP 関数や式に対するコンパイラオブジェクトの実行ステップ数を求める方法を説明する。Pure LISP 関数 f_n または式 e に対するコンパイラオブジェクト実行ステップ数を名前の頭に S をつけて Sf_n あるいは Se のように表わすものとし、また、モデルに応じて変化する次のような関数を用いることにする。

- 定数 $C \Rightarrow 0$
- 局所変数 $x \Rightarrow 0$
- 条件式 $[P_1 \rightarrow e_1; \dots; P_m \rightarrow e_m]$
 $\Rightarrow [P_1 \rightarrow \max_2[S_{P_1} + 1; Se_1];$
 $P_2 \rightarrow \max_2[S_{P_2} + 1; Se_2];$
 \vdots
 $P_n \rightarrow \max_2[S_{P_n} + 1; Se_n]]$
- 関数適用の式 $[f e_1; \dots; e_n]$
 $\Rightarrow f e_1 + \max_1[Se_1; \dots; Se_n]$
 $(e_1, \dots, e_n$ は e の評価された値)
 $Sf_n[e_1; \dots; e_n]$
 $= \{ f_n の命令実行ステップ数 (f_n が基本関数のとき)$
 $Sbody (f_n が自身またはその定義内容があるとき)$
 $(lambda[[x_1; \dots; x_n] body]) のとき\}$

図11 コンパイラ実行ステップ数導出の方法

```

sevalquote[fn;x] = sapply[fn;x;NIL]
sapply[fn;x;a] =
  [atom[fn] ->
    [eq[fn;CAR] -> <6,6,2,2>; eq[fn;CDR] -> <7,6,2,2>; eq[fn;CONS] -> <12,9,5,5>;
    eq[fn;ATOM] -> <9,6,2,2>; eq[fn;EQ] -> <12,7,3,3>;
    T -> <9,4,0,0> + seval[fn;a] + sapply[eval[fn];ix;a];
  eq[car[fn];LAMBDA] -> <9,5,2,2> + pairlis[cadr[fn];x;a] + seval[caddr[fn];
    pairlis[cadr[fn];x;a]];
  eq[car[fn];LABEL] -> <20,12,9,9> + sapply[cadr[fn];x;
    cons[cons[cadr[fn];
      caddr[fn]];a]];
  ];
  seval[e;a] =
  [atom[e] -> <3,3,1,1> + sassoc[e;a];
   eq[car[e];QUOTE] -> <9,8,3,3>; eq[car[e];COND] -> <10,7,1,1> + sevcon[cdr[e];a];
   T -> <11,7,1,1> + seval[cdr[e];a] + sapply[car[e];
     evlis[cdr[e];a;a];
     T -> <6,4,1,1> + seval[cdr[e];a] + apply[car[e];
       evlis[cdr[e];a;a];
       ];
  ];
  sassoc[e;a] = <5*n,5*n,n+3,3> (x が連想リスト a の n 番目の位置にあるとき)
  sevcon[c;a] = (c = ((P1, e1) ... (Pm, em)) で Pi ~ Pj が不適, Pi が成立する)
  <4*i+2+ $\sum_{k=1}^n$  seval[pk;a] + seval[ei;a].
  4*i+2+ $\sum_{k=1}^n$  seval[pk;a] + seval[ei;a].
  2+max[seval[pl;a]+1;...;seval[pi;a]+i;seval[ei;a]+i].
  2+max[seval[pl;a];...;seval[pi;a];seval[ei;a]+1]>
  seval[m;a] = (m = (e1 ~ en) のとき)
  <7*n+2+ $\sum_{i=1}^n$  seval[ei;a].
  2+max[6*i+seval[ei;a]].
  1i<=n
  2+max[4*i+seval[ei;a]].
  1i<=n
  max[seval[ei;a]].
  1i<=n
  sepairlis[x;y;a] = <12*n+2,6*n+3,4*n+3,4> (x,y が長さ n のリストのとき)

```

図12 インタプリタ実行ステップ数 sevalquote

$$\begin{aligned} \max_1 &= \{ +(\text{加算}) : \text{seq-model} \\ &\quad (\max(\text{最大値}) : \Delta_1, \Delta_2 - \text{model}) \} \\ \max_2 &= \{ +(\text{加算}) : \text{seq}, \Delta_1 - \text{model} \\ &\quad (\max(\text{最大値}) : \Delta_2, \# - \text{model}) \} \end{aligned}$$

Pure LISP の式は図11 のような方法でコンパイラオブジェクトの実行ステップ数を表わす式に変換で定義 (QUOTE e)

```

C:sobj[(QUOTE e)] = <0,0,0,0>
I:seval[(QUOTE e);a] = <9,8,3,3>
局所変数 x エが a(リスト) の n 番目にあるとき
C:sobj[x] = <0,0,0,0>
I:seval[x;a] = <5n+3,5n+3,n+4,4> ≈ <8,8,5,4>
条件式 (COND (P1, e1) ... (Pm, em))
  Pi ~ Pj が不成立で Pi が成立するとき
C:sobj[(COND (P1, e1) ... (Pm, em))] = max_2[1+max_1[sobj[P1]; ... ; sobj[Pm]]; sobj[ei]]
I:seval[(COND (P1, e1) ... (Pm, em));a] = <4i+12+ $\sum_{k=1}^{m-i}$  seval[Pk;a] + seval[ei;a] ... seq
  <4i+9+ $\sum_{k=1}^{m-i}$  seval[Pk;a] + seval[ei;a] ... Δ1
  3 + max[1+seval[P1;a]; ... ; seval[Pi;a]; seval[ei;a]] ... Δ2
  3 + max[seval[P1;a]; ... ; seval[Pi;a]; seval[ei;a]] ... #
関数適用の式 (f e1 ~ en)
  基本関数
  CAR (CAR e)
  C:sobj[(CAR e)] = 1+sobj[e]
  I:seval[(CAR e);a] = <26,21,9,3> + seval[e;a]
  CDR (CDR e)
  C:sobj[(CDR e)] = 1+sobj[e]
  I:seval[(CDR e);a] = <27,21,9,3> + seval[e;a]
  CONS (CONS e1, e2)
  C:sobj[(CONS e1, e2)] = 3+max[1+sobj[e1]; sobj[e2]]
  I:seval[(CONS e1, e2);a] = <27,24,12,6> + max_1[seval[e1;a]; <12,6,4,0> + seval[e2;a]]
  ATOM (ATOM e)
  C:sobj[(ATOM e)] = 1+sobj[e]
  I:seval[(ATOM e);a] = <29,21,9,3> + seval[e;a]
  EQ (EQ e1, e2)
  C:sobj[(EQ e1, e2)] = 1+max[1+sobj[e1]; sobj[e2]]
  I:seval[(EQ e1, e2);a] = <27,22,10,4> + max_1[seval[e1;a]; <12,6,4,0> + seval[e2;a]]
定義された関数 (f e1 ~ en) (DEF (x1 ... xn) body) の形で定義
C:sobj[(f e1 ~ en)] = sobj[body] + max_1[sobj[e1]]
I:seval[(f e1 ~ en);a] = <19n+41,6n+29,4n+13,11> + seval[body;a] + $args*
  LAMBDA 関数 ((LAMBDA (x1 ... xn) body) e1 ~ en)
  C:sobj[((LAMBDA ...) ...);a] = sobj[body] + max_1[sobj[e1]]
  I:seval[((LAMBDA ...) ...);a] = <19n+18,6n+16,4n+10,7> + seval[body;a] + $args*
  LABEL 関数 ((LABEL f (LAMBDA (x1 ... xn) body)) e1 ~ en)
  C:sobj[((LABEL ...) ...);a] = sobj[body] + max_1[sobj[e1]]
  I:seval[((LABEL ...) ...);a] = <19n+39,6n+28,4n+19,16> + seval[body;a] + $args*
  *
```

$$* : $args = \{ \begin{cases} \# Seval[e_i;a] & \dots \text{seq} \\ max[\text{seval}[e_1;a]+6] & \dots \Delta_1 \\ max[\text{seval}[e_2;a]+4] & \dots \Delta_2 \\ max[\text{seval}[e_3;a]+2] & \dots \# \end{cases}$$

図13 インタプリタ実行ステップ数とコンパイラ実行ステップ数の比較

きる。また、3.3, 3.4で述べたように各モデルのインタプリタは evalquote (または#evalquote) のコンパイラオブジェクトの実行であろうので、同じ方法を evalquote (または#evalquote) に対して適用することによりインタプリタ実行のステップ数 sevalquote を得ることができ(図12)。ただし、seq, Δ_1 , Δ_2 , # - model における値が a, b, c, d のとき $\langle a, b, c, d \rangle$ のように表現している。(この記法を以降でも用いる。)

4.2 インタプリタ実行とコンパイラ実行の速度比較

式 eに対するインタプリタ実行ステップ数は図12の sevalquote 内の seval[e;a] によって与えられる。また式 eに対するコンパイラオブジェクトの実行ステップ数を sobj[e] により表す。seval, sobj を Pure LISP の式の各場合について比較すると図13のようになる。図13において比較されている seval, sobj の式の右辺において引数の対応する seval, sobj を除いた部分(2重下線)を比較し、構造的帰納法を用いることにより、すべての Pure LISP の式について次のようにならることが示される。

$$\frac{\text{seval}[e;a]}{\text{sobj}[e]} \geq \langle 13, 8, 4, 2 \rangle$$

最低値は図13の "CONS" の場合に対する比較により与えられる。

関数 append, copy に対してステップ数を計算してみると図14のようになる。

インタプリタ実行、コンパイラ実行の速度比は最低値、図14での具体的な値、図13の二重下線部の

		APPEND	$n=0$	$n=10$	$n=\infty$	COPY	$n=0$	$n=10$	$n=\infty$
seq-model	I	$265n+162$	162	2812	-	353.2^n-224	127	361248	-
	Δ_1	$7n+2$	2	72	-	9.2^n-7	2	9209	-
	Δ_2	81	39.0	37.8	-	64.5	39.2	37.2	-
Δ_1 -model	I	$152n+112$	112	1632	-	$14.9n^{15}-75$	1585	-	-
	Δ_1	$6n+2$	2	62	-	$6n+2$	2	62	-
	Δ_2	56.0	24.3	25.3	-	47.5	25.6	24.8	-
#-model	I	$54n+46$	46	586	-	$50n^{138}-138$	538	-	-
	Δ_1	$4n+2$	2	42	-	$4n+2$	2	42	-
	Δ_2	23	13.9	13.5	-	19.0	12.8	12.5	-

n : APPEND --- 第1引数のリストの長さ
COPY --- 完全二進木の深さ

図14 具体的なステップ数計算の例

値のいずれにおいても seq, Δ_1 , Δ_2 , # のモデルの順に小さくなっていく傾向がある。この傾向は3章において概念的に検討した結果とも合致している。

5. あとがき

データフローマシンなどで採用されている関数的処理の並列化を採用した

Δ -model

さらにリスト構造処理の並列化を導入した
- model

を用いて Pure LISP 関数の処理速度を比較した。
- model ではインタプリタ + evalquote においてリスト構造処理の並列化の採用により、高速化される。
特に変数値の探索を行なう assoc の処理が # - scan-select, # - match を用いることにより一定時間で処理できるが、assoc の処理の並列化は LISP 処理に限らず、他の場合でも適用できると考えられる。

また各モデルでのインタプリタ実行とコンパイラ実行の速度を比較したが、速度比は逐次 Δ_1 , Δ_2 , # のモデルの順に小さくなっている。コンパイラ実行の場合、コンパイル操作を別に行なう必要があり、また関数引数などの完全な扱いが困難であることなどの課題が残る。さらにインタプリタのほうがプログラミング環境として好ましいことから、# - model のような並列処理においてはインタプリタのほうが理論、実際の両面から好ましいとも考えられる。

今後の課題として

- (1) コンパイラでの関数引数、自由変数の処理を可能にするモデル
- (2) ハードウェア実現上の制約を考慮したモデルとその上で評価
- (3) リスト構造処理の並列性をインタプリタ内部で用いるだけでなく、評価の対象とする関数や式についても適用できようようにインタプリタおよびモデルを拡張することなどがあげられる。

<文献> [1] 伊藤、田村、和田: LISP コンパイラとインタプリタの処理速度の理論的比較、情処学会記号処理研23-3 (1983), [2] 伊藤、和田: LISP 関数の並列実行モデルとその評価—Pure LISP 関数に対する関数型並列実行モデル—、情処学会第27回全大IG-9(1983), [3] McCarthy et al.: LISP1.5 Programmer's Manual, MIT Press (1962), [4] J. Allen: Anatomy of LISP, McGraw-Hill (1978)